

Деформирование упругой трехслойной прямоугольной пластины со сжимаемым наполнителем

А.С. ЗЕЛЕНАЯ

Исследован изгиб несимметричных по толщине упругих трехслойных пластин со сжимаемым наполнителем. Кинематические гипотезы основаны на гипотезе ломаной линии: для внешних слоев принимаются гипотезы Кирхгофа, в жестком сжимаемом наполнителе деформированная нормаль остается прямолинейной. Равномерно распределенная нагрузка приложена к внешней поверхности первого несущего слоя.

Ключевые слова: трехслойная прямоугольная пластина, сжимаемый наполнитель, несимметричная по толщине пластина.

The bending of asymmetric elastic three-layer plates with compressible filler is investigated. Kinematic hypotheses are based on the hypothesis of a broken line: Kirchhoff's hypotheses are accepted for the outer layers; in the rigid compressible filler the deformed normal remains rectilinear. A uniformly distributed load is applied to the outer surface of the first carrier layer.

Keywords: three-layer rectangular plate, compressible filler, asymmetrical in thickness plate.

Введение. В современном строительстве находят все более широкое применение многослойные конструкции, которые при рациональном сочетании материалов с различными свойствами становятся способными сопротивляться многообразным внешним воздействиям и позволяют сократить расходы в период эксплуатации. Частным случаем многослойных конструкций являются трехслойные элементы конструкций. При заданных ограничениях на прочность и жесткость, с точки зрения минимума весовых показателей в условиях работы на изгиб, трехслойные конструкции оказываются близкими оптимальным.

Статическое и динамическое деформирование трехслойных конструкций, связанных с упругим основанием, исследовано в монографии [1]. Статьи [2]–[5] посвящены исследованию трехслойных прямоугольных и круговых пластин. В работах [6]–[10] рассмотрены изгиб и колебания трехслойного стержня. В статье [11] исследованы радиальные колебания трехслойной цилиндрической оболочки со сжимаемым наполнителем.

Здесь выполнена постановка и решение задачи о статическом деформировании упругих прямоугольных трехслойных пластин со сжимаемым наполнителем.

1. Постановка краевой задачи. Рассматривается несимметричная по толщине упругая трехслойная прямоугольная пластина, состоящая из двух несущих слоев и сжимаемого наполнителя. Несущие слои предназначены для восприятия основной части механической нагрузки, поэтому они выполняются из материалов высокой прочности и жесткости. Наполнитель служит для образования монолитной конструкции, обеспечивает перераспределение усилий между несущими слоями, тем самым гарантирует совместную работу слоев пластины (рисунок 1, а).

Для изотропных несущих слоев приняты гипотезы Кирхгофа. В жестком наполнителе справедливы точные соотношения теории упругости с линейной аппроксимацией перемещений его точек от поперечной координаты z . На границах контакта перемещения непрерывны. Материалы несущих слоев несжимаемы в поперечном и продольном направлении, в наполнителе учитывается обжатие. Деформации малые. Система координат x, y, z связывается со срединной плоскостью наполнителя (рисунок 1, б). К внешней поверхности первого несущего слоя приложена произвольная распределенная нагрузка, проекции которой на координатные оси: $q(x, y), p_x(x, y), p_y(x, y)$.

За искомые функции принимаются продольные перемещения $u_{kx}(x, y), u_{ky}(x, y)$ и прогибы $w_k(x, y)$ срединных поверхностей несущих слоев ($k = 1, 2$).

Продольные перемещения $u^{(k)}(x, y, z)$ и прогибы $w^{(k)}(x, y, z)$ в слоях можно выразить через искомые функции $w_1(x, y)$, $w_2(x, y)$, $u_{1x}(x, y)$, $u_{1y}(x, y)$, $u_{2x}(x, y)$, $u_{2y}(x, y)$ следующими соотношениями ($k=1, 2, 3$):

– в несущих слоях ($c \leq z \leq c+h_1$)

$$\begin{aligned} u_x^{(1)} &= u_{1x} - \left(z - c - \frac{h_1}{2} \right) w_{1,x}, \quad w^{(1)} = w_1, \\ u_y^{(1)} &= u_{1y} - \left(z - c - \frac{h_1}{2} \right) w_{1,y}, \quad u_x^{(2)} = u_{2x} - \left(z + c + \frac{h_2}{2} \right) w_{2,x}, \\ w^{(2)} &= w_2 \quad (-c - h_2 \leq z \leq -c), \quad u_y^{(2)} = u_{2y} - \left(z + c + \frac{h_2}{2} \right) w_{2,y}; \end{aligned}$$

– в заполнителе ($-c \leq z \leq c$)

$$\begin{aligned} u_x^{(3)} &= \left(1 + \frac{z}{c} \right) \left(\frac{1}{2} u_{1x} + \frac{h_1}{4} w_{1,x} \right) + \left(1 - \frac{z}{c} \right) \left(\frac{1}{2} u_{2x} - \frac{h_2}{4} w_{2,x} \right), \\ u_y^{(3)} &= \left(1 + \frac{z}{c} \right) \left(\frac{1}{2} u_{1y} + \frac{h_1}{4} w_{1,y} \right) + \left(1 - \frac{z}{c} \right) \left(\frac{1}{2} u_{2y} - \frac{h_2}{4} w_{2,y} \right), \\ w^{(3)} &= \frac{1}{2} \left(1 + \frac{z}{c} \right) w_1 + \frac{1}{2} \left(1 - \frac{z}{c} \right) w_2, \end{aligned} \quad (1.1)$$

где z – расстояние от рассматриваемого волокна до срединной линии заполнителя.

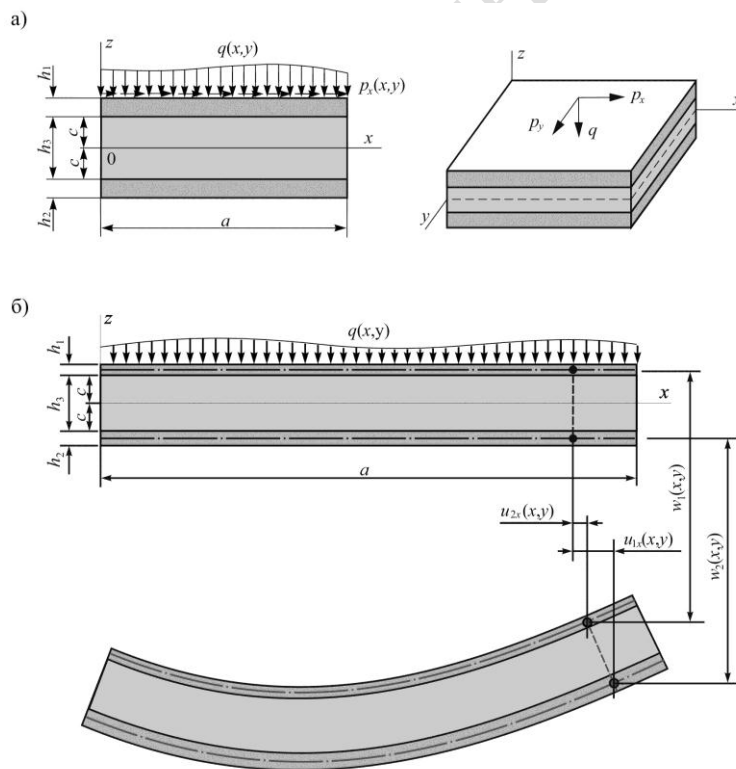


Рисунок 1 – Расчетная схема прямоугольной трехслойной пластины

Компоненты тензора деформаций в слоях получим, используя выражения (1.1) и соотношения Коши [12, с. 22].

Уравнения равновесия рассматриваемой трехслойной пластины получим, используя вариационный принцип Лагранжа

$$\delta A = \delta W, \quad (1.2)$$

где δA , δW – вариации работы внешней и внутренней сил.

Вариация работы внешней поверхностной нагрузки

$$\delta A = \iint_S \left(p_x (\delta u_{1x} - \frac{h_1}{2} \delta w_{1,x}) + p_y (\delta u_{1y} - \frac{h_1}{2} \delta w_{1,y}) + q \delta w_1 \right) dx dy. \quad (1.3)$$

Вариация работы внутренних сил упругости

$$\begin{aligned} \delta W = \iint_S \left\{ \sum_{k=1}^3 \int_{h_k} (\sigma_{xx}^{(k)} \delta \varepsilon_{xx}^{(k)} + \sigma_{yy}^{(k)} \delta \varepsilon_{yy}^{(k)} + 2\sigma_{xy}^{(k)} \delta \varepsilon_{xy}^{(k)}) dz + \right. \\ \left. + 2 \int_{h_3} (\sigma_{xz}^{(3)} \delta \varepsilon_{xz}^{(3)} + \sigma_{yz}^{(3)} \delta \varepsilon_{yz}^{(3)} + \sigma_{zz}^{(3)} \delta \varepsilon_{zz}^{(3)}) dz \right\} dx dy. \quad (1.4) \end{aligned}$$

Подставив (1.3), (1.4) в (1.2), а также используя выражения для перемещений (1.1) была получена система шести дифференциальных уравнений равновесия пластины в усилиях:

$$\begin{aligned} H_{1x} - V_{1,y} - P_{1x,x} &= p_x, \\ H_{1x} + V_{2,y} + P_{2x,x} &= 0, \\ H_{1y} - V_{1,x} - P_{1y,y} &= p_y, \\ H_{1y} + V_{2,x} + P_{2y,y} &= 0, \\ S_{1x,xx} + H_2 - T_{1x,x} - U_{1,xy} + S_{1y,yy} - T_{1y,y} &= q + \frac{p_{x,x} h_1}{2} + \frac{p_{y,y} h_1}{2}, \\ S_{2x,xx} - H_2 - T_{2x,x} - U_{2,xy} + S_{2y,yy} - T_{2y,y} &= 0, \end{aligned} \quad (1.5)$$

где $H_{kx}, H_{ky}, V_k, P_{kx}, P_{ky}, S_{kx}, S_{ky}, H_k, T_{kx}, T_{ky}, U_k$ – обобщенные усилия.

В слоях рассматриваемой пластины для связи тензоров напряжений и деформаций используются соотношения закона Гука в девiatorно-шаровой форме:

$$s_{ij}^{(k)} = 2G_k \varepsilon_{ij}^{(k)}, \quad \sigma^{(k)} = 3K_k \varepsilon^{(k)} \quad (i, j = x, y, z, k = 1, 2, 3), \quad (1.6)$$

где $-G_k$ сдвиговой модуль упругости материалов, $\varepsilon_{ij}^{(k)}$ – компоненты девiatorа тензора деформаций, K_k – объемный модуль упругости материалов, $\varepsilon^{(k)}$ – шаровая часть тензора деформаций.

Введем внутренние усилия и моменты, отнесенные к единице длины:

$$\begin{aligned} N_{xx}^{(k)} &= \int_{h_k} \sigma_{xx}^{(k)} dz, \quad N_{yy}^{(k)} = \int_{h_k} \sigma_{yy}^{(k)} dz, \quad M_{xx}^{(k)} = \int_{h_k} \sigma_{xx}^{(k)} z dz, \quad M_{yy}^{(k)} = \int_{h_k} \sigma_{yy}^{(k)} z dz, \\ M_{xy}^{(k)} &= \int_{h_k} \sigma_{xy}^{(k)} z dz, \quad Q_{xy}^{(k)} = \int_{h_k} \sigma_{xy}^{(k)} dz, \quad N_{zz}^{(3)} = \int_{h_3} \sigma_{zz}^{(3)} dz, \quad M_{xz}^{(3)} = \int_{h_3} \sigma_{xz}^{(3)} z dz, \\ M_{yz}^{(3)} &= \int_{h_3} \sigma_{yz}^{(3)} z dz, \quad Q_{xz}^{(3)} = \int_{h_3} \sigma_{xz}^{(3)} dz, \quad Q_{yz}^{(3)} = \int_{h_3} \sigma_{yz}^{(3)} dz, \end{aligned} \quad (1.7)$$

где $\sigma_{xx}^{(k)}, \sigma_{xz}^{(3)}, \sigma_{zz}^{(3)}$ – компоненты тензора напряжений; интегралы берутся по толщине k -го слоя.

Применив соотношения закона Гука (1.6), выразим внутренние усилия и моменты (1.7) через функции $u_{1x}, u_{2x}, u_{1y}, u_{2y}, w_1, w_2$. Подставив полученные выражения в систему уравнений равновесия (1.5), получим систему дифференциальных уравнений, описывающих перемещения в упругой трехслойной пластине со сжимаемым наполнителем:

$$\begin{aligned} a_1 u_{1x} - a_1 u_{2x} - a_4 u_{1x,xx} - a_5 u_{2x,xx} - a_{19} u_{1x,yy} - a_{18} u_{2x,yy} - a_{21} u_{1y,xy} - a_{23} u_{2y,xy} + a_2 w_{1,x} + \\ + a_3 w_{2,x} - 2a_{24} w_{1,xyy} + a_{25} w_{2,xyy} - 2a_6 w_{1,xxx} + a_7 w_{2,xxx} = p_x, \\ -a_1 u_{1x} + a_1 u_{2x} - a_5 u_{1x,xx} - a_9 u_{2x,xx} - a_{18} u_{1x,yy} - a_{20} u_{2x,yy} - a_{23} u_{1y,xy} - a_{22} u_{2y,xy} - a_{10} w_{1,x} - \\ - a_{17} w_{2,x} - a_{24} w_{1,xyy} + 2a_{25} w_{2,xyy} - a_6 w_{1,xxx} + 2a_7 w_{2,xxx} = 0, \\ a_1 u_{1y} - a_1 u_{2y} - a_4 u_{1y,yy} - a_5 u_{2y,yy} - a_{19} u_{1y,xx} - a_{18} u_{2y,xx} - a_{21} u_{1x,xy} - a_{23} u_{2x,xy} + a_2 w_{1,y} + \\ + a_3 w_{2,y} - 2a_{24} w_{1,xyy} + a_{25} w_{2,xyy} - 2a_6 w_{1,yyy} + a_7 w_{2,yyy} = p_y, \\ -a_1 u_{1y} + a_1 u_{2y} - a_5 u_{1y,yy} - a_9 u_{2y,yy} - a_{18} u_{1y,xx} - a_{20} u_{2y,xx} - a_{23} u_{1x,xy} - a_{22} u_{2x,xy} - a_{10} w_{1,y} - \end{aligned}$$

$$\begin{aligned}
& -a_{17}w_{2,y} - a_{24}w_{1,xy} + 2a_{25}w_{2,xy} - a_6w_{1,yyy} + 2a_7w_{2,yyy} = 0, \\
& -a_2u_{1x,x} - a_2u_{1y,y} + a_{10}u_{2x,x} + a_{10}u_{2y,y} + 2a_6u_{1x,xxx} + a_6u_{2x,xxx} + 2a_6u_{1y,yyy} + a_6u_{2y,yyy} + \\
& + 2a_{24}u_{1x,xy} + a_{24}u_{2x,xy} + 2a_{24}u_{1y,xy} + a_{24}u_{2y,xy} + a_{11}w_{1,xx} + a_{11}w_{1,yy} - a_{12}w_{2,xx} - \\
& - a_{12}w_{2,yy} + a_{15}w_{1,xxx} + a_{15}w_{1,yyy} - a_{16}w_{2,xxx} - a_{16}w_{2,yyy} + a_{26}w_{1,xyy} - a_{28}w_{2,xyy} + \\
& + a_8w_1 - a_8w_2 = q + \frac{p_{x,x}h_1}{2} + \frac{p_{y,y}h_1}{2}, \\
& -a_3u_{1y,y} - a_3u_{1x,x} + a_{17}u_{2y,y} + a_{17}u_{2x,x} - a_7u_{1y,yyy} - a_7u_{1x,xxx} - 2a_7u_{2y,yyy} - 2a_7u_{2x,xxx} - \\
& - 2a_{27}u_{2y,xy} - a_{25}u_{1y,xy} - 2a_{25}u_{2x,xy} - a_{25}u_{1x,xy} - a_{12}w_{1,xx} - a_{12}w_{1,yy} + a_{14}w_{2,xx} + a_{14}w_{2,yy} + \\
& - a_{16}w_{1,xxx} - a_{16}w_{1,yyy} + a_{13}w_{2,xxx} + a_{13}w_{2,yyy} - a_{28}w_{1,xyy} + a_{27}w_{2,xyy} - \\
& - a_8w_1 + a_8w_2 = 0, \tag{1.8}
\end{aligned}$$

где a_i ($i=1, \dots, 28$) – коэффициенты, выражающиеся через объемный K_k и сдвиговой G_k модули упругости материалов, и геометрические параметры слоев пластины.

Краевая задача (1.8) об изгибе пластины замыкается добавлением граничных условий. Принимаем граничные условия, соответствующие свободному опиранию пластины по кромкам на неподвижные в пространстве жесткие опоры:

$$\begin{aligned}
& \text{при } x=0, a & u_{ky} = w_k = S_{kx} = P_{kx} = 0; \\
& \text{при } y=0, b & u_{kx} = w_k = S_{ky} = P_{ky} = 0. \tag{1.9}
\end{aligned}$$

Выразив усилия P_{kx} , P_{ky} , S_{kx} , S_{ky} через перемещения и подставив в (1.9), получим граничные условия в перемещениях ($k=1, 2$):

$$\begin{aligned}
& \text{при } x=0, a & u_{kx,x} = u_{ky} = w_k = w_{k,xx} = 0; \\
& \text{при } y=0, b & u_{ky,y} = u_{kx} = w_k = w_{k,yy} = 0. \tag{1.10}
\end{aligned}$$

Таким образом, получена система из шести линейных дифференциальных уравнений в частных производных относительно искомым перемещений.

2. Решение краевой задачи в перемещениях. Решение будем искать методом Бубнова-Галеркина. Для этого искомые перемещения представляем в виде разложения в двойные тригонометрические ряды, которые автоматически удовлетворяют граничным условиям (1.9), (1.10):

$$\begin{aligned}
u_{1x} &= \sum_{n,m=0}^{\infty} U_{1xnm} \cos \frac{\pi nx}{a} \sin \frac{\pi my}{b}, & u_{2x} &= \sum_{n,m=0}^{\infty} U_{2xnm} \cos \frac{\pi nx}{a} \sin \frac{\pi my}{b}, \\
u_{1y} &= \sum_{m,n=0}^{\infty} U_{1ymn} \sin \frac{\pi nx}{a} \cos \frac{\pi my}{b}, & u_{2y} &= \sum_{m,n=0}^{\infty} U_{2ymn} \sin \frac{\pi nx}{a} \cos \frac{\pi my}{b}, \\
w_1 &= \sum_{n,m=0}^{\infty} W_{1nm} \sin \frac{\pi nx}{a} \sin \frac{\pi my}{b}, & w_2 &= \sum_{n,m=0}^{\infty} W_{2nm} \sin \frac{\pi nx}{a} \sin \frac{\pi my}{b}, \tag{2.1}
\end{aligned}$$

где U_{1xnm} , U_{2xnm} , U_{1ymn} , U_{2ymn} , W_{1nm} , W_{2nm} – искомые амплитуды перемещений прямоугольной трехслойной пластины со сжимаемым заполнителем.

Положим продольную нагрузку $p_x \equiv 0$, $p_y \equiv 0$. Поперечную нагрузку q представим в виде разложения в двойной тригонометрический ряд:

$$q = \sum_{n,m=0}^{\infty} q_{nm} \sin \frac{\pi nx}{a} \sin \frac{\pi my}{b}, \quad q_{nm} = \frac{4}{ab} \int_0^a \int_0^b q(x, y) \sin \frac{\pi nx}{a} \sin \frac{\pi my}{b} dx dy. \tag{2.2}$$

После подстановки перемещений (2.1) и нагрузки (2.2) в систему уравнений равновесия (1.8) и необходимых преобразований получим систему линейных алгебраических уравнений для определения искомым амплитуд перемещений U_{1xnm} , U_{2xnm} , U_{1ymn} , U_{2ymn} , W_{1nm} , W_{2nm} :

$$\begin{aligned}
b_1U_{1xnm} + b_2U_{2xnm} + b_{11}U_{1ymn} + b_{12}U_{2ymn} + b_3W_{1nm} + b_4W_{2nm} &= 0, \\
b_2U_{1xnm} + b_5U_{2xnm} + b_{12}U_{1ymn} + b_{13}U_{2ymn} + b_6W_{1nm} + b_7W_{2nm} &= 0,
\end{aligned}$$

$$\begin{aligned}
 b_{11}U_{1xmn} + b_{12}U_{2xmn} + b_{14}U_{1ymn} + b_{15}U_{2ymn} + b_{16}W_{1mn} + b_{17}W_{2mn} &= 0, \\
 b_{12}U_{1xmn} + b_{13}U_{2xmn} + b_{15}U_{1ymn} + b_{18}U_{2ymn} + b_{19}W_{1mn} + b_{20}W_{2mn} &= 0, \\
 b_3U_{1xmn} + b_6U_{2xmn} + b_{16}U_{1ymn} + b_{19}U_{2ymn} + b_8W_{1mn} + b_9W_{2mn} &= q_{mn}, \\
 b_4U_{1xmn} + b_7U_{2xmn} + b_{17}U_{1ymn} + b_{20}U_{2ymn} + b_9W_{1mn} + b_{10}W_{2mn} &= 0,
 \end{aligned}$$

где коэффициенты b_i выражаются через величины a_i и зависят от параметров m и n .

Таким образом, получено решение краевой задачи об изгибе прямоугольной упругой трехслойной пластины со сжимаемым наполнителем.

3. Численный параметрический анализ. Принимается, что пакет трехслойной пластины составлен из материалов Д16Т–фторопласт–Д16Т, толщины слоев $h_1 = 0,01$ м, $h_2 = 0,04$ м, $h_3 = 0,2$ м. Механические характеристики материалов взяты в монографии [12, с. 64, 75]. Нагрузка равномерно распределена по всей поверхности пластины интенсивностью $q = -2$ МПа, размеры пластины $a = 1$ м, $b = 1$ м.

Рисунок 2 а) иллюстрирует сходимость рядов (2.1) на примере прогиба первого w_1 и второго w_2 слоев в середине пластины. Номер кривой совпадает с номером слоя. Как видно из графика, на примере прогиба первого слоя w_1 , сходимость при суммировании достаточно хорошая, поэтому для вычисления перемещений можно ограничиться первыми 19 членами ряда. При этом их сумма будет отличаться от первого слагаемого на 6,6 %. Если добавить ещё 50 членов ряда, то они внесут поправку, не превышающую 0,03 %.

Рисунок 2 б) иллюстрирует сходимость рядов (2.1) на примере продольных перемещений относительно оси x первого u_{1x} и второго u_{2x} слоев ($x = 0$, $y = 0,5b$). Номер кривой совпадает с номером слоя. На примере продольных перемещений относительно оси x можно заметить, что сходимость не такая хорошая, как для прогибов, поэтому для вычисления продольных перемещений необходимо ограничиться первыми 30 членами ряда. Последующее добавление членов ряда не внесет значительную поправку. В дальнейшем при суммировании принималось 50 членов ряда.

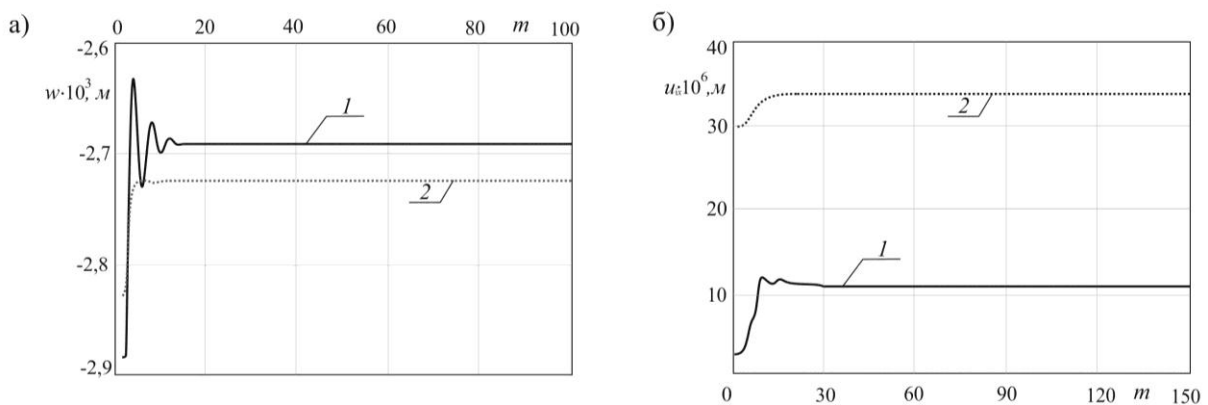


Рисунок 2 – Зависимость перемещений от количества суммируемых членов ряда

На рисунке 3 показаны изменения прогибов w_i и продольных перемещений u_{ix} в сечении $y = 0,5b$ вдоль оси x . Толщины слоев $h_1 = 0,04$ м, $h_2 = 0,01$ м, $h_3 = 0,2$ м. Номер кривой совпадает с номером слоя. В центре пластины продольные перемещения равны нулю и меняют свой знак, у торцов – принимают максимальные значения, причем у кромок в 10 раз больше во втором слое, чем в первом. Это объясняется разницей в толщинах слоев. Разность прогибов дает величину полной деформации наполнителя. Здесь везде выполняется условие $|w_1| > |w_2|$, что соответствует обжатию наполнителя по всей длине пластины.

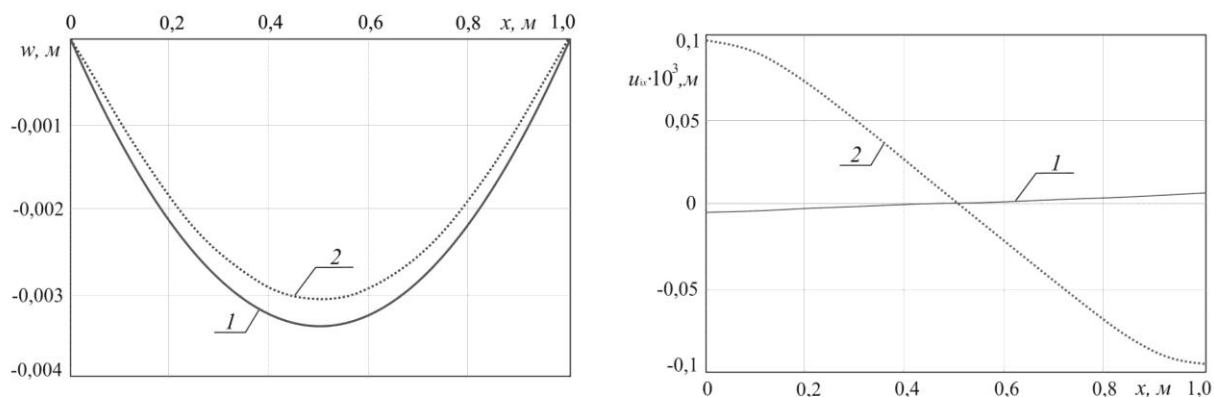


Рисунок 3 – Изменения прогибов и продольных перемещений

Подтверждение этому служит график изменения относительной поперечной деформации ε_{zz} (график в процентах) вдоль оси x ($y = 0,5 b$) на рисунке 4. Кривая везде отрицательна, что указывает на обжатие заполнителя, максимум достигается посередине пластины.

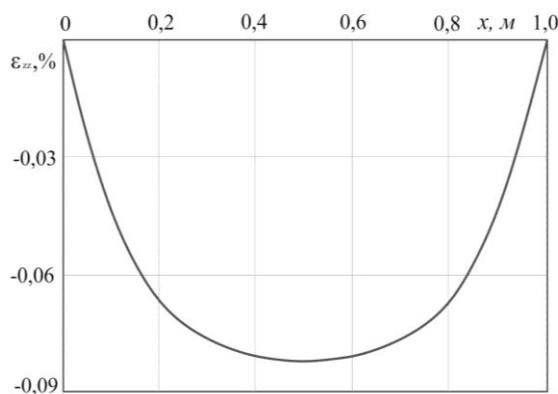


Рисунок 4 – Изменение относительной поперечной деформации

Заключение. Полученное в работе решение можно использовать для исследования изгиба упругой трёхслойной прямоугольной пластины со сжимаемым заполнителем при действии непрерывных распределенных нагрузок.

Литература

1. Плескачевский, Ю.М. Механика трехслойных стержней и пластин, связанных с упругим основанием / Ю.М. Плескачевский, Э.И. Старовойтов, Д.В. Леоненко. – М. : ФИЗМЛИТ, 2011. – 560 с.
2. Старовойтов, Э.И. Изгиб прямоугольной трехслойной пластины на упругом основании / Э.И. Старовойтов, Е.П. Доровская // Проблемы машиностроения и автоматизации. – 2006. – № 3. – С. 21–28.
3. Маевская, С.С. О влиянии магнитного поля на формы свободных и вынужденных колебаний трехслойной пластины, содержащей магнитоэластичный эластомер / С.С. Маевская, Г.И. Михасев // Механика машин, механизмов и материалов. – 2014. – № 3 (28). – С. 37–42.
4. Деформирование трехслойной круговой пластины на упругом основании / А.Г. Горшков [и др.] // Экологический вестник научных центров Черноморского экономического сотрудничества. – 2005. – № 1. – С. 16–22.
5. Starovoitov, É.I. Vibrations of round three-layer plates under the action of various types of surface loads / É.I. Starovoitov, A.V. Yarovaya, D.V. Leonenko // Strength of materials. – 2003. – Vol. 35, № 4. – P. 346–352.
6. Starovoitov, É.I. Elastoplastic bending of a sandwich bar on an elastic foundation / É.I. Starovoitov, D.V. Leonenko, A.V. Yarovaya // International Applied Mechanics. – 2007. – Vol. 43, № 4. – P. 451–459.
7. Starovoitov, E.I. Deformation of a three-layer elastoplastic beam on an elastic foundation / E.I. Starovoitov, D.V. Leonenko // Mechanics of Solids. – 2011. – Vol. 46, № 2. – P. 291–298.

8. Леоненко, Д.В. Колебания трехслойного стержня под действием импульсных нагрузок различных форм / Д.В. Леоненко // *Материалы, технологии, инструменты*. – 2004. – Т. 9, № 2. – С. 23–27.
9. Kubenko, V.D. Natural vibration of a sandwich beam on an elastic foundation / V.D. Kubenko, Yu.M. Pleskachevskii, É.I. Starovoitov, D.V. Leonenko // *International applied mechanics*. – 2006. – Vol. 42, № 5. – P. 541–547.
10. Леоненко, Д.В. Вынужденные колебания трехслойного стержня на упругом безынерционном основании / Д.В. Леоненко // *Проблемы машиностроения и автоматизации*. – 2007. – № 3. – С. 70–74.
11. Леоненко, Д.В. Радиальные собственные колебания упругих трехслойных цилиндрических оболочек / Д.В. Леоненко // *Механика машин, механизмов и материалов*. – 2010. – № 3 (12). – С. 53–56.
12. Старовойтов, Э.И. Вязкоупругопластические слоистые пластины и оболочки / Э.И. Старовойтов. – Гомель : БелГУТ, 2002. – 343 с.

Белорусский государственный
университет транспорта

Поступила в редакцию 23.05.2017

РЕПОЗИТОРИЙ ГТУ ИМЕНИ Ф. СКОРИНЫ